

การศึกษาการเคลื่อนที่ของคณะโดยใช้ทรัพยากรูปแบบเดิมเป็นส่วนหนึ่ง

นรุวัฒ สนัมพาณิช



ศูนย์วิทยทรัพยากร

วิทยานิพนธ์นี้ เป็นส่วนหนึ่งของการศึกษาความหลักสูตรปริญญาวิศวกรรมศาสตรมหาบัณฑิต
ภาควิชาวิศวกรรมโยธา

นักวิชาเอก จุฬาลงกรณ์มหาวิทยาลัย

พ.ศ. 2535

ISBN 974-581-867-4

ลิขสิทธิ์ของนักวิชาเอก จุฬาลงกรณ์มหาวิทยาลัย

018512_117119075

STUDY ON SEDIMENT TRANSPORT USING
FINE SAND AS BED MATERIAL

Mr. Nutthawooth Sananpanich

A Thesis Submitted in Partial Fulfillment of the Requirements
for the Degree of Master of Engineering

Department of Civil Engineering

Graduate School

Chulalongkorn University

1992

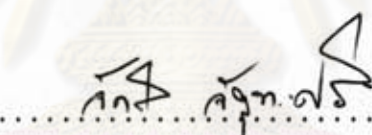
ISBN 974-581-867-4

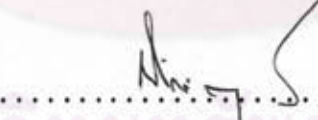
หัวขอวิทยานิพนธ์ การศึกษาการเคลื่อนที่ของตะกอนโดยใช้ทราบและอึดเป็นวัสดุท้องน้ำ
 โดย นายันชุ่วี่ สนั่นพานิช
 ภาควิชา วิศวกรรมโยธา
 อาจารย์ที่ปรึกษา ศาสตราจารย์ ดร.นิวัตติ์ ควรานันท์

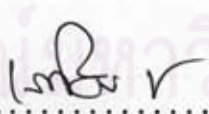
บัญชีวิทยาลัย จุฬาลงกรณ์มหาวิทยาลัย อนุมัติให้นับวิทยานิพนธ์ฉบับนี้ เป็นส่วนหนึ่ง
 ของการศึกษาตามหลักสูตรปริญญามหาบัณฑิต

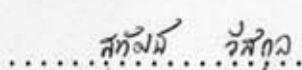

..... คณบดีบัญชีวิทยาลัย
 (ศาสตราจารย์ ดร.ถาวร วัชราภิวัช)

คณะกรรมการสอนวิทยานิพนธ์


..... ประธานกรรมการ
 (ศาสตราจารย์ จักรี จัตุกะศรี)


..... กรรมการและอาจารย์ที่ปรึกษา
 (ศาสตราจารย์ ดร.นิวัตติ์ ควรานันท์)


..... กรรมการ
 (รองศาสตราจารย์ เศรษฐ ชลาธิวงศ์)


..... กรรมการ
 (อาจารย์ ดร.สุทธิพร วีสวิกุล)



พิมพ์ด้นฉบับนักศึกษาอวิทยานิพนธ์ภายในกรอบสีเขียวนี้เพียงแผ่นเดียว

ธนรุสิ สันติพานิช : การศึกษาการเคลื่อนที่ของตะกอนโดยใช้กรรายละเอียดเป็นวัสดุท้องน้ำ
(STUDY ON SEDIMENT TRANSPORT USING FINE SAND AS BED MATERIAL)
อ.ที่ปรึกษา ศ.ดร.นิวัตติ ควรานันท์, 103 หน้า. ISBN 974-581-867-4

การศึกษาถึงความล้มเหลวระหว่างปริมาณตะกอนลอย (Suspended sediment load) และปริมาณตะกอนแห้งหนา (Total sediment load) อันเนื่องมาจากการเคลื่อนที่ของตะกอน (sediment) ในลำน้ำที่ห้องน้ำ เป็นกราย ทุกลักษณะห้องน้ำได้กระทำในร่างน้ำรูปสี่เหลี่ยมผืนผ้า (Rectangular flume) ที่มีน้ำป่ามีตะกอนในหลังเวียน ร่างน้ำมีขนาดกว้าง 0.60 ม. ยาว 20.40 ม. และลึก 0.75 ม. ขนาดของกรรายละเอียดที่ใช้มีเส้นผ่าศูนย์กลางเฉลี่ย 0.35 มม. และค่าการเรียงเม็ดของกรรายเท่ากับ 1.66 เป็นวัสดุท้องน้ำ (Bed material) ผู้ศึกษาได้รวมข้อมูลจากผลการทดลองของ Simons และ Richardson (1961), Daranandana (1962), Khuhapinant (1966), Luchaichana (1985) และร่วมกับข้อมูลที่ทำโดยผู้ศึกษา ในห้องปฏิบัติการชลศาสตร์ ภาควิชาชีวศึกษา มหาวิทยาลัยเชียงใหม่ ที่ทางภาควิชาชีวศึกษาได้ร่วมกันตั้งกล่าวตัวอย่าง

การศึกษาแบ่งออกเป็น 2 ส่วน ส่วนแรกเป็นการหาความล้มเหลวระหว่างปริมาณความเสื่อมของตะกอนลอยและปริมาณความเสื่อมของตะกอนแห้งหนาซึ่งปริมาณความเสื่อมนี้ได้จากการเก็บตัวอย่าง โดยตรงจากกราฟทดสอบ ส่วนที่สองเป็นการศึกษาเปรียบเทียบระหว่างปริมาณการเคลื่อนที่ของตะกอนห้องน้ำ ซึ่งที่ได้จากการทดสอบและที่คำนวณได้จากวิธีของ Meyer-Peter and Muller (1948), สมการ Engelund and Hansen (1976), สมการ Ackers and White (1973) และสมการ Van rijn (1985)

การวิเคราะห์ผลการศึกษาของกราย 9 ขนาด สามารถอกลังความล้มเหลวระหว่างปริมาณตะกอนลอย (Suspended sediment load) และปริมาณตะกอนแห้งหนา (Total sediment load) ในรูปความล้มเหลวระหว่างปริมาณห้องส่อง สำหรับทุกลักษณะห้องน้ำและสำหรับกรายต่างขนาดกันตัวอย่าง ให้มีตัวแปรเป็นความลากเฉียงห้องน้ำและปริมาณกราย ให้

ปริมาณการเคลื่อนที่ของตะกอนห้องน้ำที่คำนวณโดยวิธีของ Meyer-Peter and Muller ได้ให้ค่าใกล้เคียงสำหรับการใช้หน้าปริมาณการเคลื่อนที่ของตะกอนห้องน้ำ เมื่อเปรียบเทียบกับสมการอื่น โดยที่ค่าเฉลี่ยที่ได้ออกมาต่ำกว่าค่าที่วัดได้ (underestimate) แต่สำหรับสมการ Engelund and Hansen สมการ Ackers and White และสมการ Van Rijn ให้ค่า ออกมากสูงกว่าค่าที่วัดได้ (overestimate)

พิมพ์ด้านลับหน้าปกด้วยอักษรไทยนิพนธ์ภาษาไทยในกรอบสีเขียวที่เพียงแผ่นเดียว

NUTTHAWOOTHE SANANPANICH : STUDY ON SEDIMENT TRANSPORT USING FINE SAND AS BED MATERIAL. THESIS ADVISOR : PROF.DR.NIWAT DARANANDANA, 103 PP. ISBN 974-581-867-4

A study of the relationship between the suspended sediment load and the total sediment load on the transportation of the sediment in alluvial channels having sand as bed material for all kind of bed forms was carried out in a recirculating rectangular flume. This flume was 0.60 m. wide, 20.40 m. long, and 0.75 m. deep. The bed material was sand with a median diameter of 0.35 mm. and a measure of gradation of sand was 1.66. Data obtained from flume experiments by Simons and Richardson (1961), Daranadana (1962) Luchaichana (1985) Khuhapinant (1966) were also analyzed in addition to the data collected by the research from flume experiments in the hydraulic laboratory of the Civil Engineering Department.

The study was divided into two parts. The first part was directed towards finding the relationship between the concentration of suspended sediment load and total sediment load which were measured directly from the tests. The second part of the study was the comparison between the rate of bed material transport which was taken from the experiments and the bed material transport which was obtained form the computation using Meyer-Peter and Muller's equations (1948), Engelund and Hansen's equtions (1967), Ackers and White's equations (1973) and Van Rijn's equations (1985)

An analysis of the study which have nine sample sands reveals a close relationship between the concentration of suspened sediment load (C_s) to the total sediment load (C_t), for all bed form sand various sizes. Such relationships are expressed in the forms of empirical equations of C_s versus C_t which parameters are slope of bed forms and discharges.

Bed material transport rate, computed from Meyer Peter and Muller 's equation has shown suitable result to that measured from the expeirments that mean value is underestimate. But for Engelund and Hansen's equations, Ackers and white's equuations and Van Rijn's equation that mean values are overestimate.

ภาควิชา..... วิศวกรรมโยธา
สาขาวิชา..... วิศวกรรมแหล่งน้ำ¹
ปีการศึกษา..... 2535

ลายมือชื่อนักศึกษา.....
ลายมือชื่ออาจารย์ที่ปรึกษา.....
ลายมือชื่ออาจารย์ที่ปรึกษาร่วม.....

กิตติกรรมประกาศ

ข้าพเจ้าขอกราบขอบพระคุณจากอาจารย์แห่งน้ำทุกท่าน ที่ประสึกธีประจำสาขาวิชาความรู้ ค่าง ๆ ค่าแนะนำ ข้อคิดที่ดีแก่ข้าพเจ้าตลอดมาในด้านความรู้ทางวิชาการ และแนวทางปฏิบัติงาน อันเป็นสิ่งที่มีค่าในการเพิ่มประสิทธิภาพในการทำงาน

วิทยานิพนธ์ฉบับนี้สำเร็จลุล่วงไปได้ด้วยความกรุณาของ ศาสตราจารย์ จักรี จัตุหะศรี รองศาสตราจารย์ เสถียร ชลาชีวะ อาจารย์ ดร.สุกัญญา วีสกุล และโดยเฉพาะอย่างยิ่ง ศาสตราจารย์ ดร.นิวัตติ ดาวานันท์ ที่ได้ให้ค่าแนะนำ ถ่ายทอดความรู้และแนวความคิดค่าง ๆ อย่างใกล้ชิดมาโดยตลอด

อนึ่งข้าพเจ้าได้รับอนุญาต ศูนย์คอมพิวเตอร์ คณะวิศวกรรมศาสตร์ จุฬาลงกรณ์ มหาวิทยาลัย ภาควิชาบริการอาชญา และชั้นรวมแห่งนี้ ที่ได้ให้ความช่วยเหลือด้านอุปกรณ์ เครื่องมือเครื่องใช้ ตลอดจนคอมพิวเตอร์

สุดท้ายนี้ ข้าพเจ้าได้รับอนุญาต ศูนย์ฯ นิศา นารดา ที่ได้สนับสนุนทั้งในด้าน การเงิน และกำลังใจแก่ข้าพเจ้ามาโดยตลอด

ศูนย์วิทยทรัพยากร
จุฬาลงกรณ์มหาวิทยาลัย

นรรุณ สันนหนานิช

สารบัญ

	หน้า
บทคัดบอกร่างภาษาไทย	ก
บทคัดบอกร่างอังกฤษ	ข
กิจกรรมประการ	จ
สารบัญ	จ
สารบัญตาราง	ช
สารบัญรูป	ถ
 บทที่ 1 บทนำ	
1.1 บทนำ และความเป็นมา.....	1
1.2 ขอบข่ายและวัสดุประสงค์ที่ศึกษา.....	2
1.3 แนวทางในการศึกษา.....	3
1.4 การศึกษาที่ผ่านมา.....	4
1.5 ประโยชน์ที่คาดว่าจะได้รับ.....	8
บทที่ 2 หลักการและทฤษฎีที่ใช้ในการศึกษา	
2.1 ลักษณะการเคลื่อนตัวของตะกอน.....	9
2.2 การเก็บตัวอย่างน้ำและตะกอน.....	10
2.3 รูปแบบลักษณะความชุกรของห้องน้ำ.....	11
2.4 สมการการเคลื่อนที่ของตะกอน.....	12
2.4.1 สมการของ Meyer-Peter and Muller.....	13
2.4.2 สมการของ Engelund and Hansen.....	14
2.4.3 สมการของ Ackers and white.....	15
2.4.4 สมการของ Van Rijn.....	16
บทที่ 3 การดำเนินการทดลอง	
3.1 รายงานเบ็ดรุบสีเหลืองผืนผ้า.....	17
3.2 วิธีดำเนินการทดลอง.....	30
3.3 ข้อมูลและวิธีการวัด.....	30

บทที่ 4 การวิเคราะห์ผลการทดสอบ	
4.1 การศึกษาความสัมพันธ์ระหว่างความเร็วขั้นของระgon แซวและอยู่กับความเร็วขั้นของระgon ทั้งหมด.....	75
4.2 การวิเคราะห์เบริบันเทียบผลการทดสอบกับสมการค่าร่าง ๆ ซึ่งได้กล่าวมาแล้วในบทที่ 2	76
บทที่ 5 ข้อสรุปและข้อเสนอแนะ	
5.1 ข้อสรุป.....	80
5.2 ข้อเสนอแนะ.....	82
เอกสารอ้างอิง.....	83
ภาคผนวก ก. ผลการปรับค่า (Calibrated) แผ่น Orifice meter โดยใช้ Pitot tube.....	86
ภาคผนวก ข. ผลกระทบเนื่องจากผนังด้านข้าง.....	89
ภาคผนวก ค. ผลการคำนวณค่า d_2 และตัวอบ่างไฟล์ข้อมูลของทรายขนาดเม็ดเฉลี่ย $0.35 \text{ มม. } (\sigma = 1.66)$	93
ภาคผนวก ง. โปรแกรมการคำนวณและตัวอบ่างการคำนวณของทรายขนาดเม็ดเฉลี่ย $0.35 \text{ มม. } (\sigma = 1.66)$	95
ประวัติผู้ศึกษา.....	103

ศูนย์วิทยทรัพยากร
จุฬาลงกรณ์มหาวิทยาลัย

ตารางที่		หน้า
4.1	ผลการกระจายของขนาดเม็ดทรายทั้งน้ำ ของทรายขนาดเม็ดเฉลี่ย 0.35 มม. ($\delta = 1.66$).....	35
4.2	ผลการทดสอบที่วัดได้โดยใช้ทรายขนาดเม็ดเฉลี่ย 0.35 มม. และมีค่าการเรียงเน็ค $=1.66$	36
4.3	ผลการกระจายของขนาดเม็ดทรายทั้งน้ำ ของทรายขนาดเม็ดเฉลี่ย 0.70 มม. ($\delta = 2.13$)	38
4.4	ผลการทดสอบที่วัดได้โดยใช้ทรายขนาดเม็ดเฉลี่ย 0.70 มม. และมีค่าเรียงเน็ค = 2.13	39
4.5	ผลการกระจายของเม็ดทรายทั้งน้ำ ของทรายขนาดเม็ดเฉลี่ย 0.95 มม. ($\delta = 1.82$)	41
4.6	ผลการทดสอบที่วัดได้โดยใช้ทรายขนาดเม็ดทรายเฉลี่ย 0.95 มม. และมีค่าเรียงเน็ค = 1.82	42
4.7	ข้อมูลจากผลการทดลองของ Simons และ Richardson สำหรับทรายขนาดเม็ดเฉลี่ย 0.19 มม.	44
4.8	ข้อมูลจากผลการทดลองของ Simons และ Richardson สำหรับทรายขนาดเม็ดเฉลี่ย 0.27 มม.	45
4.9	ข้อมูลจากผลการทดลองของ Simons และ Richardson สำหรับทรายขนาดเม็ดเฉลี่ย 0.28 มม.	46
4.10	ข้อมูลจากผลการทดลองของ Simons และ Richardson สำหรับทรายขนาดเม็ดเฉลี่ย 0.32 มม.	47
4.11	ข้อมูลจากผลการทดลองของ Simons และ Richardson สำหรับทรายขนาดเม็ดเฉลี่ย 0.47 มม.	48

4.12 อัตราการเคลื่อนที่ของตะกอนทรายจากผลการทดลองและผลการคำนวณสมการ การเคลื่อนที่ของตะกอนท้องน้ำสำหรับทรายขนาดเม็ดเฉลี่ย 0.35 มม. ($\sigma = 1.66$)	60
4.13 อัตราการเคลื่อนที่ของตะกอนท้องน้ำสำหรับทรายขนาดเม็ดเฉลี่ย 0.70 มม. ($\sigma = 2.13$)	65
4.14 อัตราการเคลื่อนที่ของตะกอนท้องน้ำสำหรับทรายขนาดเม็ดเฉลี่ย 0.95 มม. ($\sigma = 2.82$)	70
ก.1 แสดงค่าผลการปรับค่า (Calibrated) ผ่าน Orifice meter โดยใช้ Pitot tube	86
ก.1 ผลการคำนวณค่า d_s ของทรายท้องน้ำขนาดเม็ดเฉลี่ย 0.35 มม. ($\sigma = 1.66$)	93
ก.2 ตัวอย่างไฟล์ข้อมูล (Data file) ของทรายขนาดเม็ดเฉลี่ย 0.35 มม. ($\sigma = 1.66$)	94

ศูนย์วิทยทรัพยากร
จุฬาลงกรณ์มหาวิทยาลัย

รูปที่

หน้า

1.1 รูปแบบความชุกระของท้องน้ำ	7
3.1 รางน้ำเปิดสี่เหลี่ยมผืนผ้า (Rectangular Flume)	18
3.2 แผนผังแสดงส่วนประกอบต่างๆ และระบบการหมุนเวียนของน้ำผ่านสะพานใน ท้องน้ำ	19
3.3 ตะแกรง (Suppressor)	20
3.4 เครื่องมือเก็บตัวอย่างค่ากอนแขวนลอย	21
3.5 เครื่องมือวัดความเร็วของกระแสน้ำ (Pitot tube)	22
3.6 เครื่องมือเก็บตัวอย่างค่ากอนทราบรายทั้งหมด	23
3.7 ลักษณะท้องน้ำแบบบริปเบิล (ตัวอย่างการทดลองที่ 2)	24
3.8 ลักษณะท้องน้ำแบบแอนดิคุน (ตัวอย่างการทดลองที่ 15)	25
3.9 นาโนมิเตอร์ (Manometer)	26
3.10 เสาวัดระดับผิวน้ำ	27
3.11 ความถดถ卜ของผิวน้ำ (การทดลองที่ 9)	28
3.12 ความถดถ卜ของผิวน้ำ (การทดลองที่ 15)	28
3.13 เครื่องมือเก็บตัวอย่างทราบรายท้องน้ำ	29
3.14 เครื่องมือเขย่าตะแกรง และตะแกรงขนาดต่างๆ	29
4.1 ภาพการกระจายของทราบท้องน้ำขนาดเม็ดเฉลี่ย 0.35 มม. ($\sigma = 1.66$)	37
4.2 ภาพการกระจายของทราบท้องน้ำขนาดเม็ดเฉลี่ย 0.70 มม. ($\sigma = 2.13$)	40
4.3 ภาพการกระจายของทราบท้องน้ำขนาดเม็ดเฉลี่ย 0.95 มม. ($\sigma = 1.82$)	43
4.4 ความสัมพันธ์ของค่ากอนแขวนลอยกับค่ากอนทั้งหมด สำหรับลักษณะท้องน้ำแบบ บริปเบิล	50
4.5 ความสัมพันธ์ของค่ากอนแขวนลอยกับค่ากอนทั้งหมด สำหรับลักษณะท้องน้ำแบบคุน	51
4.6 ความสัมพันธ์ของค่ากอนแขวนลอยกับค่ากอนทั้งหมด สำหรับลักษณะท้องน้ำแบบ ทราบเชิง.....	52

รูปที่	หน้า
4.7 ความสัมพันธ์ของตะกอนแขวนลอยกับตะกอนทึ้งหมด สำหรับลักษณะท้องน้ำแบบ เหตุนเบต	53
4.8 ความสัมพันธ์ของตะกอนแขวนลอยกับตะกอนทึ้งหมด สำหรับลักษณะท้องน้ำแบบ แสงคิงเวฟ	54
4.9 ความสัมพันธ์ของตะกอนแขวนลอยกับตะกอนทึ้งหมด สำหรับลักษณะท้องน้ำแบบ แผนคิด	55
4.10 ความสัมพันธ์ของตะกอนแขวนลอยกับตะกอนทึ้งหมด สำหรับทุกลักษณะท้องน้ำของ ทรายขนาดเม็ดเฉลี่ยหลาบนาค	56
4.11 ความสัมพันธ์ของตะกอนแขวนลอยกับตะกอนทึ้งหมด สำหรับทุกลักษณะท้องน้ำของ ทรายขนาดเม็ดเฉลี่ยเฉลี่ย 0.35 มม. ($\sigma = 1.66$)	57
4.12 ความสัมพันธ์ของตะกอนแขวนลอยกับตะกอนทึ้งหมด สำหรับทุกลักษณะท้องน้ำของ ทรายขนาดเม็ดเฉลี่ยเฉลี่ย 0.70 มม. ($\sigma = 2.13$)	58
4.13 ความสัมพันธ์ของตะกอนแขวนลอยกับตะกอนทึ้งหมด สำหรับทุกลักษณะท้องน้ำของ ทรายขนาดเม็ดเฉลี่ยเฉลี่ย 0.95 มม. ($\sigma = 1.82$)	59
4.14 การเปรียบเทียบกราฟอัตราการเคลื่อนที่ของตะกอนท้องน้ำระหว่างผลจากการ ทดลองกับสมการของ Meyer-Peter และ Muller สำหรับทรายขนาดเม็ด เฉลี่ย 0.35 มม. ($\sigma = 1.66$)	61
4.15 การเปรียบเทียบอัตราการเคลื่อนที่ของตะกอนท้องน้ำระหว่างผลจากการทดลอง กับสมการของ Engelund และ Hansen สำหรับทรายขนาดเม็ดเฉลี่ย 0.35 มม. ($\sigma = 1.66$)	62
4.16 การเปรียบเทียบอัตราการเคลื่อนที่ของตะกอนท้องน้ำระหว่างผลจากการทดลอง กับสมการของ Ackers และ White สำหรับทรายขนาดเม็ดเฉลี่ย 0.35 มม. ($\sigma = 1.66$)	63

4.17 การเปรียบเทียบอัตราการเคลื่อนที่ของตะกอนท้องน้ำระหว่างผลจากการทดลอง กับสมการของ Van Rijn สำหรับรายขนาดเม็ดเฉลี่ย 0.35 มม. ($\sigma = 1.66$)	64
4.18 การเปรียบเทียบอัตราการเคลื่อนที่ของตะกอนท้องน้ำระหว่างผลจากการทดลอง กับสมการของ Meyer-Peter และ Muller สำหรับรายขนาดเม็ดเฉลี่ย 0.70 มม. ($\sigma = 2.13$)	66
4.19 การเปรียบเทียบอัตราการเคลื่อนที่ของตะกอนท้องน้ำระหว่างผลจากการทดลอง กับสมการของ Engelund และ Hansen สำหรับรายขนาดเม็ดเฉลี่ย 0.70 มม. ($\sigma = 2.13$)	67
4.20 การเปรียบเทียบอัตราการเคลื่อนที่ของตะกอนท้องน้ำระหว่างผลจากการทดลอง กับสมการของ Ackers และ White สำหรับรายขนาดเม็ดเฉลี่ย 0.70 มม. ($\sigma = 2.13$)	68
4.21 การเปรียบเทียบอัตราการเคลื่อนที่ของตะกอนท้องน้ำระหว่างผลจากการทดลอง กับสมการของ Van Rijn สำหรับรายขนาดเม็ดเฉลี่ย 0.70 มม. ($\sigma = 1.82$)	69
4.22 การเปรียบเทียบอัตราการเคลื่อนที่ของตะกอนท้องน้ำระหว่างผลจากการทดลอง กับสมการของ Meyer-Peter และ Muller สำหรับรายขนาดเม็ดเฉลี่ย 0.95 ($\sigma = 1.82$)	71
4.23 การเปรียบเทียบอัตราการเคลื่อนที่ของตะกอนท้องน้ำระหว่างผลการทดลองกับสมการ ของ Engelund และ Hansen สำหรับรายขนาดเม็ดเฉลี่ย 0.95 ($\sigma = 1.82$)	72
4.24 การเปรียบเทียบอัตราการเคลื่อนที่ของตะกอนท้องน้ำระหว่างผลการทดลองกับสมการ ของ Ackers และ White สำหรับรายขนาดเม็ดเฉลี่ย 0.95 ($\sigma = 1.82$)	73
4.25 การเปรียบเทียบอัตราการเคลื่อนที่ของตะกอนท้องน้ำระหว่างผลจากการทดลองกับ สมการของ Van Rijn สำหรับรายขนาดเม็ดเฉลี่ย 0.95 ($\sigma = 1.82$) ...	74
ก.2 กราฟแสดงผลการปรับค่า (Calibrated) แม่น Orifice โดยใช้ Pilot Tube	88